

## ЭВОЛЮЦИЯ ФЛУКТУАЦИОННОГО ПОТЕНЦИАЛА ПРИ ОБЕДНЕНИИ КАНАЛА ПОЛЕВОГО GaAs-ТРАНЗИСТОРА

Орлов А. О., Савченко А. К., Шкловский Б. И.

Показано, что поведение термодинамической плотности состояний при уменьшении концентрации электронов в канале GaAs-транзистора с затвором Шоттки обусловлено эволюцией флуктуационного потенциала в условиях нелинейного электронного экранирования.

Полевой транзистор с затвором Шоттки — удобный модельный объект для исследования электронных явлений [1, 2]. Проводящий канал здесь образуется в объеме легированного до уровня металлической проводимости полупроводника (рис. 1). Его толщину можно изменять с помощью напряжения на затворе  $V_g$ , которое задает толщину  $L$  обедненного слоя на границе металл—полупроводник [3]:

$$L(V_g) = (\chi(V_g + \Phi_0)/2\pi e N)^{1/2}, \quad (1)$$

где  $\Phi_0$  — контактная разность потенциалов,  $N$  — объемная концентрация доноров,  $\chi$  — диэлектрическая проницаемость. При большой толщине канала, когда концентрация электронов равна концентрации доноров и канал представляет собой область электронейтральности, дифференциальная емкость затвор—канал ( $C = \partial Q / \partial V_g$ ) определяется толщиной области пространственного заряда  $L(V_g)$ :

$$C(V_g) = \chi S / 4\pi L(V_g), \quad (2)$$

где  $S$  — площадь затвора. Измерение зависимости  $C(V_g)$  в этом случае является традиционным способом определения профиля легирования  $N(L)$ .

Цель настоящей работы — исследование зависимости  $C(V_g)$  в области «пережатого» канала, когда концентрации электронов в нем недостаточно для полного экранирования электрического поля затвора.

Измерение дифференциальной емкости затвор—канал проводилось при  $T = 4.2$  К на транзисторных структурах с затвором размерами  $l = 2 \div 20$  мкм,  $w = 200$  мкм (рис. 1). Легированная область GaAs [ $N = (1 \div 2) \cdot 10^{17}$  см $^{-3}$ ] отделена от подложки нелегированным слоем. В качестве подложек использовались полуизолирующий GaAs и проводящий  $n^+$ -GaAs, отделенный от канала дополнительной полуизолирующей прослойкой GaAlAs. Емкостной ток в цепи затвора и соединенных вместе контактов исток—сток (рис. 1) измерялся на низкой частоте  $\Omega = 30 \div 300$  Гц, так чтобы высокое сопротивление канала  $R_c$  не вносило погрешности в измерение емкости [ $R_c C(V_g) < \Omega^{-1}$ ]. Выполнение этого условия проверялось по отсутствию частотной зависимости кривой  $C(V_g)$ . Рассматривая объект исследования как конденсатор, одной из обкладок которого является затвор, а второй — пережимаемый канал, следовало бы ожидать, что в момент полного истощения канала емкость  $C$  резко уменьшится от значения емкости обедненного слоя (2) до малой величины, определяемой емкостью паразитных связей (рис. 2). В эксперименте, однако, наблюдается растянутая область перехода от закона Шоттки (2) до остаточной емкости, значение которой в дальнейшем будет приниматься за нулевой уровень.

Размытие  $C(V_g)$ -характеристики связано с тем, что дно зоны проводимости в канале размыто флюктуациями. Представляет интерес проанализировать экспериментальную зависимость в этой области для выяснения характера флюктуационного потенциала в проводящем канале. При уменьшении концентрации электронов усредненное положение дна зоны проводимости в канале будет смещаться на величину  $V_e$  относительно уровня Ферми, который задается объемом структуры (рис. 3). Приращение напряжения на затворе  $dV_g$ , складывается из приращений  $V_e$  и напряжения на обедненном слое  $V_L$ :

$$dV_g = \delta V_e + \delta V_L, \quad (3)$$

поэтому измеряемую емкость удобно представить в виде суммы двух последовательно соединенных емкостей  $C_e$  и  $C_L$

$$C^{-1} = C_e^{-1} + C_L^{-1}, \quad (4)$$

где  $C_e = e (\partial n / \partial V_g)$  пропорциональна термодинамической плотности состояний,  $C_L = e (\partial n / \partial V_L)$  — емкость обедненного слоя,  $n$  — двумерная концентрация электронов в канале. Емкость обедненного слоя определяется расстоянием от канала до затвора и мало изменяется на масштабах  $V_g$ , соответствующих спаду на  $C(V_g)$ -характеристике. Поэтому для описания экспериментальной зависимости на этом участке будем считать величину  $C_L$  постоянной:  $C_L = C_0$ . В качестве  $C_0$  возьмем значение емкости в точке отклонения зависимости  $C(V_g)$  от закона Шоттки (2) (рис. 2).

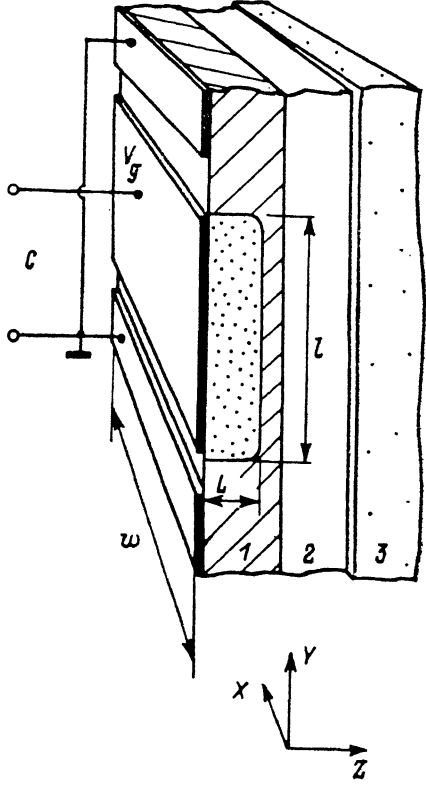


Рис. 1. Разрез транзисторной структуры.

1 — легированный слой, 2 — нелегированный слой, 3 — подложка,  $L$  — толщина области обеднения,  $l$  — длина затвора,  $w$  — ширина затвора.

Размытие дна зоны проводимости можно попытаться описать постоянной (не зависящей от концентрации электронов в канале) среднеквадратичной амплитудой флюктуаций потенциала  $\gamma_0$ . Предположив, что плотность состояний спадает по закону  $g(\varepsilon) = g_0 \exp [-(\varepsilon - eV_e)/e\gamma_0]$ , где  $g_0$  имеет порядок величины двумерной плотности состояний  $m^*/\pi\hbar^2$ , получим для концентрации электронов

в канале  $n = \int_{-\infty}^0 g d\varepsilon = e\gamma_0 g(0)$ . Электронная емкость канала  $C_e$  в этом случае опре-

деляется плотностью состояний на уровне Ферми [ $C_e = e^2 g(0)$ ] и при экспоненциальном спаде  $g$  изменяется в  $e$  раз на масштабах  $\Delta V_g \approx \gamma_0$ . Измеряемая в эксперименте емкость  $C(V_g)$  должна тогда, согласно (3) и (4), иметь различную скорость изменения в разных областях  $V_g$ : плавное отклонение от емкости  $C_0$  будет сменяться резким спадом при малых значениях емкости, что находит отражение в величине логарифмической производной  $(1/C)(\partial C / \partial V_g) = (C/C_e)^2 (1/\gamma_0)$ . (Затянутый ход емкости при больших  $C$  связан с тем, что здесь величина  $C_e$  больше  $C_0$  и при последовательном соединении этих емкостей напряжение на электронной емкости составляет лишь малую часть напряжения  $dV_g$ ).

Однако экспериментальные зависимости имеют иной, почти симметричный вид относительно средней точки  $C = C_0/2$ . Если же попытаться описать экспериментальную кривую в рамках модели  $\gamma_0 = \text{const}$ , то окажется, что  $\gamma_0$ , полученный из сопоставления с моделью нижней части кривой, существенно превышает

величину, полученную для верхней части  $C(V_g)$ -характеристики. На рис. 2 показаны две такие подгоночные кривые с  $\gamma_0 = 15$  и 60 мВ.

Таким образом, вид экспериментальной зависимости  $C(V_g)$  позволяет сделать вывод о том, что при уменьшении концентрации электронов в канале происходит увеличение амплитуды флуктуационного потенциала  $\gamma(n)$ .

Термодинамическая плотность состояний  $C_n$  при изменяющейся величине  $\gamma$  будет определяться как плотностью состояний на уровне Ферми  $g(0)$ , так и скоростью изменения амплитуды потенциала  $d\gamma/dn$ . Если плотность электронных состояний велика, то доминировать в электронной емкости будет скорость изменения флуктуационного потенциала. Такая ситуация возникает при нелинейном электронном экранировании флуктуаций потенциала.

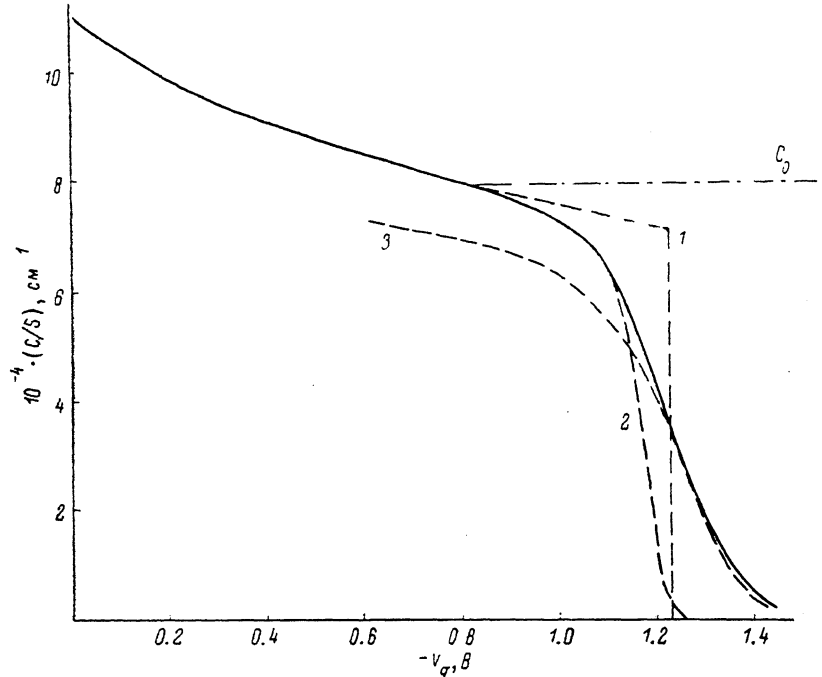


Рис. 2. Зависимость емкости затвор—канал на единицу площади от напряжения на затворе.

Сплошная кривая — эксперимент, 1 — возможный вид при отсутствии флюктуаций, 2, 3 — при постоянной амплитуде флюктуаций  $\gamma_0 = 15$  (2) и 60 мВ (3).

В работах [4, 5] рассмотрено экранирование двумерным электронным газом флюктуаций потенциала доноров, равномерно распределенных в окружающем слое электронов пространстве. При малой концентрации электронов ( $n^3 < N^2$ ) экранирование имеет нелинейный характер и среднеквадратичная амплитуда флюктуаций растет с уменьшением концентрации электронов по закону

$$\gamma(n) = A \cdot V/\chi n. \quad (5)$$

Соотношение (5) получается в предположении, что среднеквадратичная амплитуда флюктуационного потенциала масштаба  $R$  определяется среднеквадратичным флюктуационным зарядом доноров  $(NR^3)^{1/2}$ . Величина радиуса нелинейного экранирования  $R(n)$  находится из условия, что в кубе со стороной  $R$  число электронов  $nR^2$  ( $n$  — средняя концентрация электронов) достаточно для экранирования флюктуационного заряда доноров:

$$nR^2 = (NR^3)^{1/2}, \quad (6)$$

откуда

$$R = N^{1/3} n^{2/3}. \quad (7)$$

Перестройку флюктуационного потенциала в этой модели можно представить следующим образом. При нелинейном электронном экранировании уровень Ферми проходит по минимумам флюктуационного потенциала, где плотность электронных состояний велика (рис. 3). Тогда изменение усредненного положения дна зоны проводимости однозначно связано с ростом флюктуаций потенциала

$$\partial V_e = \beta \partial \gamma, \quad (8)$$

откуда с учетом (5) величина емкости  $C_e$  пропорциональна квадрату двумерной концентрации электронов в канале [4, 5]:

$$C_e = (e/3) (\partial n / \partial \gamma) = \chi n^2 / \alpha N. \quad (9)$$

[Величины  $A$ ,  $\beta$  и  $\alpha = A\beta$  в формулах (5), (8), (9)] — неизвестные коэффициенты порядка единицы].

Для выяснения применимости соотношения (9) к результатам эксперимента величина емкости  $C_e$  выделялась из полной емкости  $C(V_g)$  с помощью соотноше-

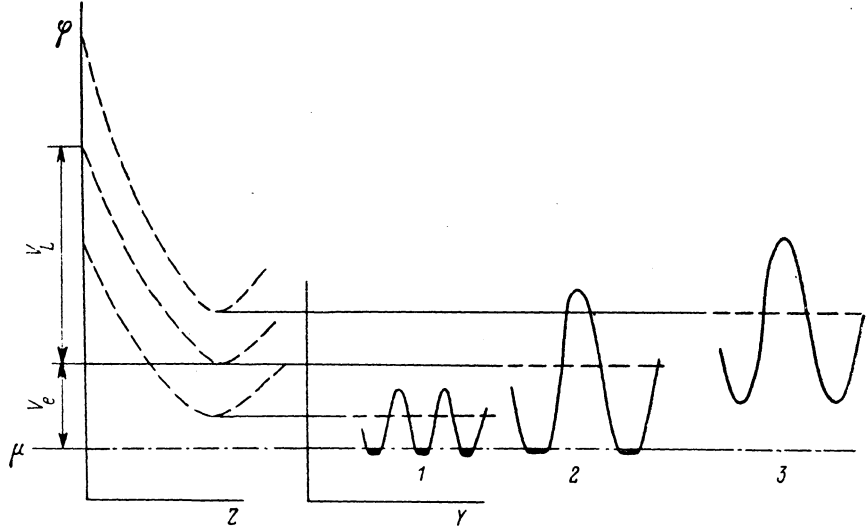


Рис. 3. Перестройка флюктуационного потенциала при изменении  $V_g$ . 1,2 — режим нелинейного экранирования электронами, 3 — экранирование затвором. Штриховые кривые — среднее положение дна зоны проводимости.

ния (4). Необходимая связь между концентрацией электронов и напряжением на затворе устанавливалась с помощью интегрирования исходной  $C(V_g)$ -характеристики:

$$n(V_g) = 1/eS \int_{V_T}^{V_g} C(V_g) dV_g, \quad (10)$$

где  $V_T$  — пороговое напряжение, соответствующее условию  $n=0$ . Полученные таким образом значения  $n$  соответствуют в области спада на характеристике  $C(V_g)$  условию применимости модели [4, 5]  $n^3 < N^2$  ( $n < 3 \cdot 10^{11} \text{ см}^{-2}$  для  $N \approx 1.5 \cdot 10^{17} \text{ см}^{-3}$ ).

На рис. 4 показан пример восстановленной зависимости  $C_e^{1/2}(n)$ . В соответствии с формулой (9) для всех образцов наблюдался квадратичный участок. Коэффициент  $\alpha$ , полученный из его наклона, изменялся для разных образцов в пределах  $\alpha = 2 \div 4$ .

При малых  $n$  наблюдается отклонение от квадратичного закона, которое можно связать с экранирующим влиянием металлического электрода. При уменьшении концентрации электронов длина нелинейного экранирования (7) возрастает и становится сравнимой с расстоянием до затвора  $L_0$ . При дальнейшем уменьшении  $n$  экранирование флюктуационного потенциала станет осу-

ществляться металлом и амплитуда потенциала  $\gamma$  перестанет нарастать, стремясь к постоянной величине  $\gamma_0$ . При этом емкость  $C_e$  будет определяться плотностью электронных состояний на уровне Ферми. Если считать, как это мы делали ранее, что плотность состояний экспоненциально зависит от энергии, то получим

$$C_e(n) = en/\gamma_0. \quad (11)$$

Эта зависимость качественно согласуется с экспериментальной кривой при малых  $n$  [на рис. 4 показана аппроксимирующая кривая (11) с  $\gamma_0=60$  мВ].

Влияние металлического электрода обнаруживается и в квадратичном по  $n$  участке зависимости  $C_e(n)$ . На рис. 4 видно, что в отличие от формулы (9), описывающей поведение потенциала при экранировании флюктуаций лишь электронами канала, продолжение квадратичного участка экспериментальной зависимости не проходит через начало координат при  $n=0$ . Если учесть влияние

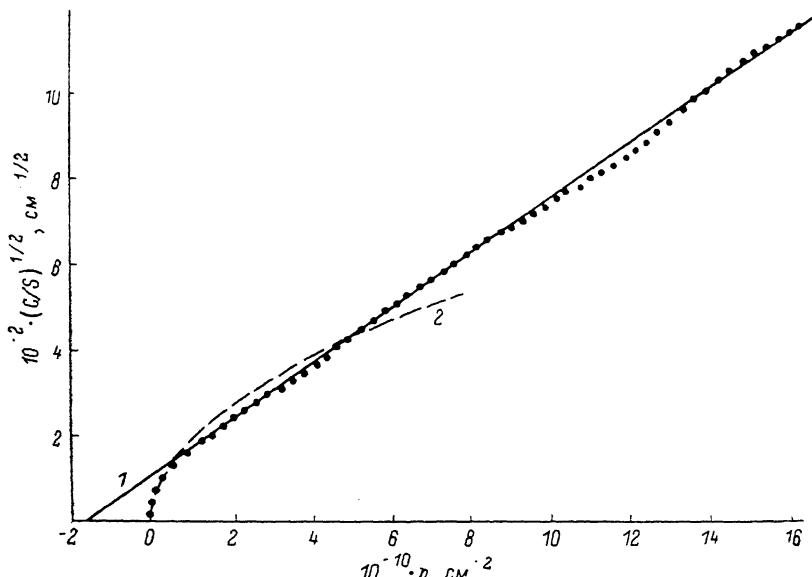


Рис. 4. Зависимость термодинамической плотности состояний от двумерной концентрации электронов в канале.

Точки — эксперимент; аппроксимация по закону: 1 —  $C \propto (n + n_c)^{1/2}$ ; 2 —  $C \propto n/\gamma_0$  ( $\gamma_0=60$  мВ).

электрода и ввести в формулу константу  $n_c$ , обрезающую нарастание амплитуды потенциала при малых  $n$  [ $\gamma = A e N / \chi (n + n_c)$ ], то для емкости получится выражение, согласующееся с видом экспериментальной зависимости при больших  $n$ ,

$$C_e^{1/2}(n) = (\chi/\alpha N)^{1/2} (n + n_c). \quad (12)$$

Из отсечки прямой на оси абсцисс можно оценить величину  $n_c$  — пограничную концентрацию между двумя режимами: экранированием флюктуаций электронами канала и металлом. Максимальная величина потенциала  $\gamma_0$  должна тогда задаваться соотношением

$$\gamma_0 = \alpha N / \beta \chi n_c. \quad (13)$$

Если в (13) подставить полученные значения  $\alpha$  и  $n_c$ , то величина  $\gamma_0$  составит  $\gamma_0 \approx 150/\beta$  мВ. В работе [5] получено точное выражение для амплитуды потенциала  $\gamma_L$  при  $n=0$  в случае МДП структуры, где флюктуационный заряд распределен между затвором и двумерным электронным каналом:

$$\gamma_L^2 = 4\pi e^2 N L_0 (1 - \ln 2) / \chi^2. \quad (14)$$

Для параметров исследованных образцов выражение (14) дает  $\gamma_L=40$  мВ. Следует, однако, принять во внимание тот факт, что в нашем случае ионизованные

доноры расположены по обе стороны канала. Это приведет к увеличению  $\gamma$  по сравнению с  $\gamma_L$ , приведенным в (14), тем более что экранирование металлом потенциала доноров, расположенных по другую сторону канала, должно быть ослаблено из-за большей их удаленности от металла. Для учета флюктуационного потенциала доноров, расположенных по другую сторону канала, нами был проделан расчет, аналогичный расчету в [5]. Считая, что доноры распределены равномерно в слое, границы которого удалены от канала на расстояние  $d$ ,  $D$ , получим для среднеквадратичной амплитуды флюктуаций потенциала в области канала при  $n=0$

$$\begin{aligned} \gamma_R^2 = & \frac{2\pi e^2 N}{\chi^2} \left\{ D \ln \frac{(D+L_0)^2}{D(D+2L_0)} - d \ln \frac{(d+L_0)^2}{d(d+2L_0)} + \right. \\ & \left. + 2L_0 \ln \frac{(D+L_0)(d+2L_0)}{(D+2L_0)(d+L_0)} \right\}. \end{aligned} \quad (15)$$

Если толщина слоя доноров по обе стороны канала одинакова ( $d=0$ ,  $D=L_0$ ), то добавка (15) к величине (14) даст  $\gamma_0^2 = \gamma_L^2 + \gamma_R^2 = 2.43 \gamma_L^2$ , откуда  $\gamma_0 = 60$  мВ. Это значение согласуется с параметром  $\gamma_0$  аппроксимирующей кривой 2 на рис. 4. Чтобы эта величина соответствовала значению  $\gamma_0$ ,енному из соотношения (13), следует допустить, что коэффициент  $\beta$ , задающий связь между среднеквадратичной амплитудой флюктуаций потенциала  $\gamma$  и положением дна зоны проводимости  $V_s$  (8), равен 2.5.

Рассмотрим влияние на величину  $\gamma_0$  других источников флюктуаций потенциала — зарядов в полуизолирующей подложке и в прослойке GaAlAs. Их вклады  $\gamma_s$  и  $\gamma_d$  можно найти с помощью соотношения (15), которое при  $d/L_0, D/L_0 \gg 1$  принимает вид  $\gamma^2 = 2\pi e^2 \rho L_0^2 (1/d - 1/D)/\chi^2$ , где  $\rho$  — средняя плотность равномерно распределенного заряда. В исследованных структурах подложка удалена от канала на расстояние  $\approx 0.7$  мкм, полуизолирующая прослойка имеет толщину 0.3 мкм и расположена на расстоянии  $\approx 0.5$  мкм от канала. Тогда  $\gamma_s^2/\gamma_0^2 \approx 0.15 \rho_s/N$ ,  $\gamma_d^2/\gamma_0^2 \approx 0.05 \rho_d/N$  и влиянием подложки и прослойки на флюктуации потенциала в канале можно пренебречь, так как концентрации заряда в них  $\rho_s$  и  $\rho_d$  не превышают концентрации доноров.

Обсудим наблюдаемый разброс значений  $\alpha$  (2–4) для разных образцов. Коэффициент  $\alpha$  определяется из  $C(V_g)$ -характеристики в комбинации  $\alpha N$ . Поэтому возможной причиной разброса  $\alpha$  может быть различие в степени компенсации образцов, так как в случае компенсации во все формулы вместо концентрации доноров, определяемой нами из  $C(V_g)$ -характеристики в области затвора Шоттки, нужно подставить суммарную концентрацию доноров и акцепторов. Другой возможной причиной может быть различное положение внутренней границы легированного слоя в структурах, которое с хорошей точностью не известно.

Формула (7) дает выражение длины нелинейного экранирования. Если в (7) подставить характерное значение параметра  $n_c \sim 3 \cdot 10^{10}$  см<sup>-2</sup>, то получим величину  $\approx 1.6$  мкм, что в 10 раз превышает расстояние до электрода  $L_0 \approx 1500$  Å, которое должно определять длину экранирования при  $n=0$ . Это, по-видимому, означает, что выведенное в [4, 5] соотношение (7) для  $R(n)$  в действительности содержит малый численный коэффициент.

Таким образом, из результатов работы следует, что поведение  $C(V_g)$ -характеристики транзисторной структуры с затвором Шоттки в области пережатого канала можно описать полуколичественно, считая, что флюктуационный потенциал создается окружающими канал донорами, и учитывая его эволюцию при уменьшении числа электронов в канале.  $C(V_g)$ -характеристика в этой области должна быть чувствительной к изменению степени компенсации, положению границы легированного слоя и наличию других источников флюктуаций потенциала. Проведение численных расчетов с целью определения неизвестных коэффициентов позволило бы количественно проверить модель [4, 5] и впоследствии использовать измерение емкости в области пережатого канала как полезный диагностический метод.

Авторы благодарны Р. А. Сурису и Е. В. Ченскому за полезные обсуждения.

### Список литературы

- [1] Pepper M. // J. Phys. C. 1979. V. 12. N 16. P. L617—L625.
- [2] Майко Е. И., Орлов А. О., Савченко А. К., Ильинчев Э. А., Польторацкий Э. А. // ЖЭТФ. 1987. Т. 83. В. 6 (12). С. 2204—2218.
- [3] Родерик Э. Х. // Контакты металла—полупроводник. М., 1982. 185 с.
- [4] Гергель В. А., Сурис Р. А. // ЖЭТФ. 1978. Т. 75. В. 1 (7). С. 191—203.
- [5] Шкловский Б. И., Эфрос А. Л. // Письма ЖЭТФ. 1986. Т. 44. В. 11. С. 520—522.

Институт радиотехники и электроники АН СССР  
Москва

Получена 8.02.1989  
Принята к печати 20.02.1989

---